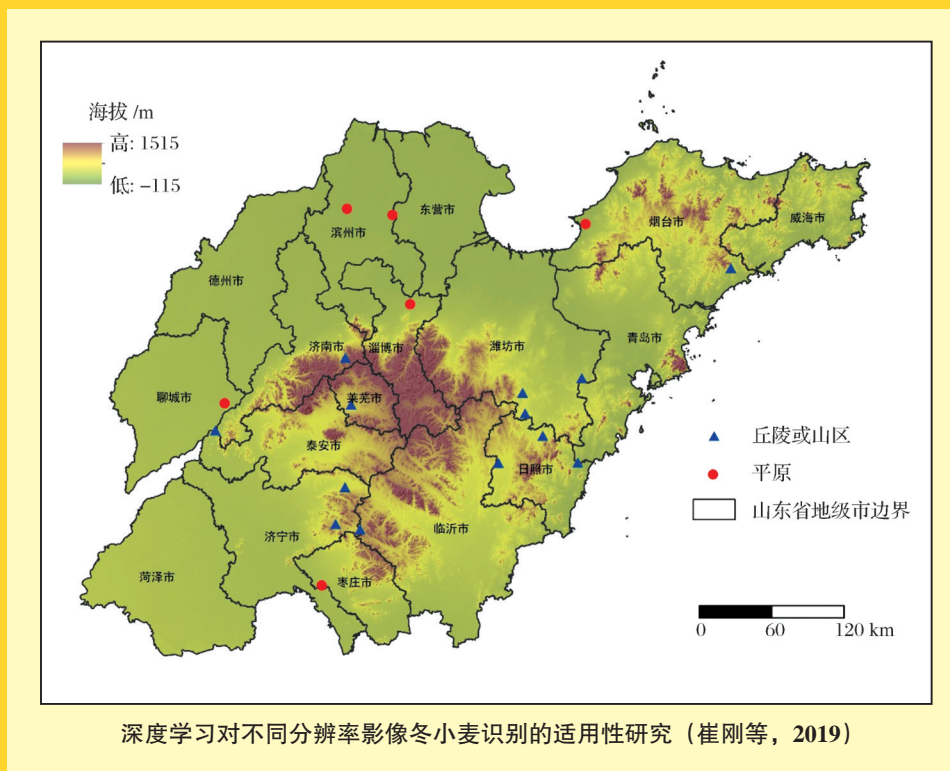


遥感技术与应用

REMOTE SENSING TECHNOLOGY AND APPLICATION

2019 第34卷 第4期 VOLUME 34 NUMBER 4



中国科学院遥感联合中心 主办
中国科学院资源环境科学信息中心
科学出版社 出版

遥感技术与应用

YAOGAN JISHU YU YINGYONG

双月刊(1986年创刊)

2019年 第34卷 第4期(总第168期)

2019年8月20日出版

主管单位:中国科学院

联合主办:中国科学院国家空间科学中心

协办:(排名不分先后)

中国科学院电子学研究所

中国科学院光电研究院

中国科学院遥感与数字地球研究所

中国气象局国家卫星气象中心

国家海洋局国家卫星海洋应用中心

中国科学院寒区旱区环境与工程研究所

中国科学院地理科学与资源研究所资源与

环境信息系统国家重点实验室

中国科学院微波遥感技术重点实验室

编委会主任和副主任

主任:姜景山

副主任:吴季 吕达仁 吴一戎 郭华东

相里斌 蒋兴伟 周志鑫 周成虎

卢乃锰 王建宇 张志强 施建成

王宇

编辑部主要组成人员

主编:吴季

副主编:刘和光 王超 李新 高峰(常务)

编辑部主任:黄新宇

编辑:马瀚青 杨小梅 王雪飞 康雪艳

地址:兰州市天水中路8号

邮编:730000

电话:0931-8272180

传真:0931-8275743

E-mail:rsta@lzb.ac.cn

网站:http://www.rsta.ac.cn

中国标准连续出版物号: ISSN 1004-0323
CN62-1099/TP

出版:科学出版社

(北京市东黄城根北街16号 100717)

发行方式:国内公开发行

总发行:兰州市邮政局

订购处:全国各地邮局 54-21

印刷:兰州中科印务有限责任公司

广告经营许可证号:甘工商广字 6200004000029

目次

CNN专栏(特邀编辑:程焱 陈雨时 陈学泓 赵文智)

深度学习在GlobeLand30-2010产品分类精度优化中应用研究

.....刘天福,陈学泓,董琪,曹鑫,陈晋(685)

基于CNN和农作物光谱纹理特征进行作物分布制图

.....周壮,李盛阳,张康,邵雨阳(694)

基于DenseNet的无人机光学图像树种分类研究

.....林志玮,丁启禄,黄嘉航,涂伟豪,胡典,刘金福(704)

基于频带特征融合的GL-CNN遥感图像场景分类

.....崔先亮,陈立福,邢学敏,袁志辉(712)

利用RefineNet模型提取冬小麦种植信息的方法

.....宋德娟,魏青迪,张承明,李峰,韩颖娟,范克琦(720)

基于深度卷积神经网络的油罐目标检测研究

.....王颖洁,张莽,张艳梅,蒙印,郭文(727)

深度残差神经网络高分辨率遥感图像建筑物分割

.....王宇,杨艺,王宝山,王田,卜旭辉,王传云(736)

深度学习对不同分辨率影像冬小麦识别的适用性研究

.....崔刚,吴金胜,于镇,周玲(748)

作物信息提取专栏(特邀编辑:黄敬峰 顾晓鹤)

基于时序定量遥感的冬小麦长势监测与估产研究

.....刘新杰,魏云霞,焦全军,孙奇,刘良云(756)

不同生育期倒伏胁迫下玉米叶面积指数高光谱响应解析

.....周龙飞,张云鹤,成枢,顾晓鹤,杨贵军,孙乾,束美艳(766)

基于无人机高光谱数据的玉米叶面积指数估算

.....程雪,贺炳彦,黄耀欢,孙志刚,李鼎,朱婉雪(775)

影像的耕地地块破碎区水稻遥感提取.....张海东,田婷,

.....张青,陆洲,石春林,谭昌伟,罗明,钱春花(785)

数据与图像处理

基于结构性字典学习的毛儿盖遥感图像去噪研究

.....秦振涛,杨茹(793)

一种结合空间与光谱信息的改进CVA变化检测方法

.....申祎,王超,胡佳乐(799)

结合EEMD和比值导数的岩石-植物混合波谱分解

.....曾雅琦,王正海,秦昊洋,周桃勇(807)

模型与反演

滨海盐渍土可见近红外高光谱特征.....张晓光,姜子璇,孔繁昌(816)

遥感应用

卫星重力监测全球地下水储量变化及其特征

.....冯贵平,宋清涛,蒋兴伟(822)

基于PSI技术的芜湖市地面沉降时空特征分析

.....黄静,王芳,张运(829)

基于灰色系统理论的植被物理参数与极化分解参数的关联分析

——以鄱阳湖湿地为例.....李春江,沈国状,张继超(839)

基于光学与SAR因子的森林生物量多元回归估算

.....苏华,张明慧,李静,陈修治,汪小钦(847)

基于MODIS GPP数据产品的辽宁省碳源/汇空间格局分布研究

.....冯艾琳,武晋雯,孟莹,姜鹏,董巍,张璇,方缘,刘斌(857)

考虑下垫面类型的干旱指数比较研究

.....王展鹏,宋立生,兰子炎,杨梦颖,鲁丹(865)

基于遥感与GIS技术的黄河宁蒙河段洪泛湿地生态环境脆弱性

定量评价.....夏热帕提·阿不来提,刘高焕,刘庆生,黄翀(874)

融合AHP和GIS技术的自然遗产地边界界定方法研究

.....张蕴绮,巩应奎,习晓环,杨瑞霞,王成(886)

基于单景高分四号卫星多光谱影像的舰船运动特征检测

.....张志新,徐清俊,张川,赵冬(892)

期刊基本参数:CN62-1099/TP * 1986 * b * A4 * 216 * zh * P * ¥ 50.00 * 1000 * 25 * 2019-8 * n

REMOTE SENSING TECHNOLOGY AND APPLICATION

(Bimonthly)

Vol.34 No.4(Series No.168) August 2019

Main Contents

| | |
|---|-------|
| Application of Deep Learning in GlobeLand30-2010 Product RefinementLiu Tianfu, Chen Xuehong, Dong Qi, Cao Xin, Chen Jin | (693) |
| Crop Mapping Using Remotely Sensed Spectral and Context Features based on CNNZhou Zhuang, Li Shengyang, Zhang Kang, Shao Yuyang | (703) |
| Study on Tree Species Classification of UAV Optical Image based on DenseNetLin Zhiwei, Ding Qilu, Huang Jiahang, Tu Weihao, Hu Dian, Liu Jinfu | (711) |
| Remote Sensing Image Scene Classification based on Frequency Band Feature Fusion and GL-CNNCui Xianliang, Chen Lifu, Xing Xuemin, Yuan Zhihui | (719) |
| Extraction Method for Winter Wheat Planting Area based on RefineNetSong Dejuan, Wei Qingdi, Zhang Chengming, Li Feng, Han Yingjuan, Fan Keqi | (726) |
| Oil Tank Detection from Remote Sensing Images based on Deep Convolutional Neural NetworkWang Yingjie, Zhang Qiao, Zhang Yanmei, Meng Yin, Guo Wen | (735) |
| Building Segmentation in High Resolution Remote Sensing Image by Deep ResNetWang Yu, Yang Yi, Wang Baoshan, Wang Tian, Bu Xuhui, Wang Chuanyun | (747) |
| Comparison Analysis on Wheat Mapping Using Deep Learning Algorithm from Different Satellite Data SourceCui Gang, Wu Jinsheng, Yu Zhen, Zhou Ling | (755) |
| Growth Monitoring and Yield Prediction of Winter Wheat based on Time-series Quantitative Remote Sensing DataLiu Xinjie, Wei Yunxia, Jiao Quanjun, Sun Qi, Liu Liangyun | (765) |
| Analysis of Hyperspectral Response of Maize Leaf Area Index under Lodging Stress under Different Growth StagesZhou Longfei, Zhang Yunhe, Cheng Shu, Gu Xiaohe, Yang Guijun, Sun Qian, Shu Meiyuan | (774) |
| Estimation of Corn Leaf Area Index based on UAV Hyperspectral ImageCheng Xue, He Bingyan, Huang Yaohuan, Sun Zhigang, Li Ding, Zhu Wanxue | (784) |
| Study on Extraction of Paddy Rice Planting Area in Low Fragmented Regions based on GF-1 WFV ImagesZhang Haidong, Tian Ting, Zhang Qing, Lu Zhou, Shi Chunlin, Tan Changwei, Luo Ming, Qian Chunhua | (792) |
| Remote Sensing Image of Mao'ergai Denoising based on Structured Dictionary LearningQin Zhentao, Yang Ru | (798) |
| An Improved CVA Change Detection Method Combining Spatial and Spectral InformationShen Yi, Wang Chao, Hu Jiale | (806) |
| Unmixing of Mixed Spectrum of Rocks and Vegetation Using EEMD and Derivative of Ratio SpectroscopyZeng Yaqi, Wang Zhenghai, Qin Haoyang, Zhou Taoyong | (815) |
| Hyperspectral Characteristics of Coastal Saline Soil with Visible/near Infrared SpectroscopyZhang Xiaoguang, Jiang Zixuan, Kong Fanchang | (821) |
| Global Groundwater Storage Changes and Characteristics Observed by Satellite GravimetryFeng Guiping, Song Qingtao, Jiang Xinwei | (828) |
| Analysis of Temporal and Spatial Characteristics of Ground Subsidence in Wuhu City based on PSI TechnologyHuang Jing, Wang Fang, Zhang Yun | (838) |
| Correlation Analysis of Vegetation Physical Parameters and Polarization Decomposition Parameters based on Grey System Theory: A Case Study in Poyang Lake WetlandLi Chunjiang, Shen Guozhuang, Zhang Jichao | (846) |
| Forest Biomass Estimation Using Multiple Regression with Optical and SAR Features: A Case Study in Fujian ProvinceSu Hua, Zhang Minghui, Li Jing, Chen Xiuzhi, Wang Xiaoqin | (856) |
| Research on Spatial Distribution of Carbon Source/Sink of Liaoning Province based on MODIS GPP Data ProductsFeng Ailin, Wu Jinwen, Meng Ying, Jiang Peng, Dong Wei, Zhang Xuan, Fang Yuan | (864) |
| Evaluation of Drought Indices of Metrology, Hydrology and Agriculture over the Continental United StatesWang Zhanpeng, Song Lisheng, Lan Ziyang, Yan Menyuan, Lu Dan | (873) |
| Assessment of Ecological Vulnerability of the Riverine Wetlands in the Upstream Reach of the Yellow River based on RS and GIS TechnologyXarapat Ablat, Liu Gaohuan, Liu Qingsheng, Huang Chong | (885) |
| Boundary Delimitation of Wolong Natural Reserve Using AHP and GIS TechniquesZhang Yunqi, Gong Yingkui, Xi Xiaohuan, Yang Ruixia, Wang Cheng | (891) |
| Ship moving Feature Detection Using a Single GF-4 Multispectral ImageZhang Zhixin, Xu Qingjun, Zhang Chuan, Zhao Dong | (900) |